

Г. Г. Данагулян, Д. А. Тадевосян, Р. А. Тамазян^a, Г. А. Паносян^a

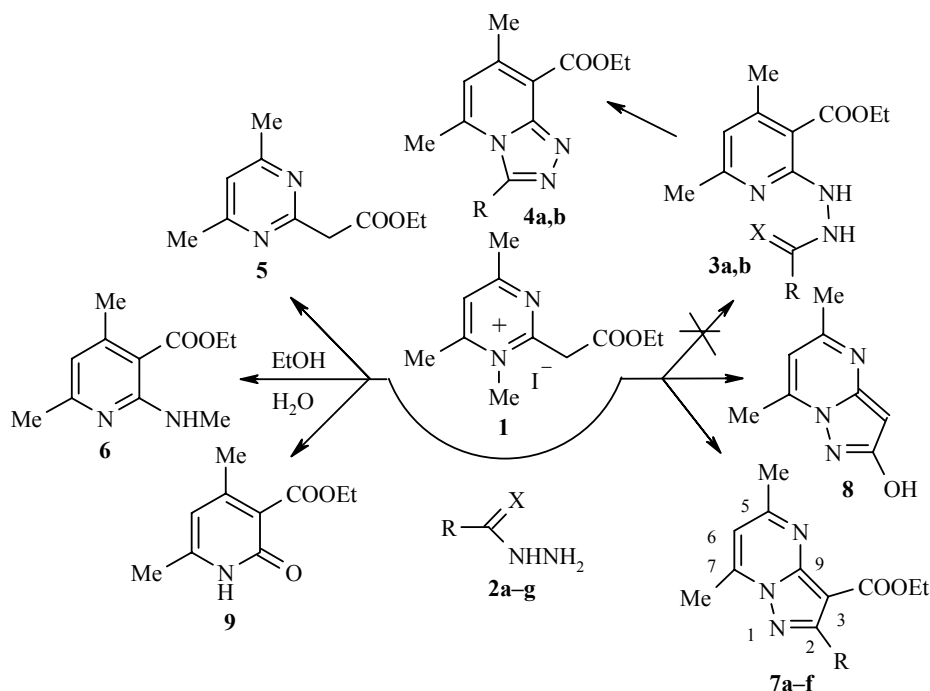
НОВЫЙ ПУТЬ ТРАНСФОРМАЦИИ ПИРИМИДИНОВОГО КОЛЬЦА ПОД ДЕЙСТВИЕМ ГИДРАЗИДОВ

На основании данных РСА доказано, что взаимодействие иодида 1,4,6- trimetil-2-(этоксикарбонил)метилпирамидина с гидразидами ряда карбоновых кислот приводит к производным пиразоло[1,5-*a*]пирамидина, а не к их изомерам – производным триазоло[4,3-*a*]пиридина, как сообщалось ранее. Это новая, ранее не отмеченная перегруппировка 1,2-диалкилпирамидиниевых солей, протекающая путем рециклизации пирамидинового кольца с включением фрагмента нуклеофильного реагента в продукт трансформации.

Ключевые слова: иодид пирамидина, пиразоло[1,5-*a*]пирамидин, перегруппировка Коста–Сагитуллина, рециклизация, РСА.

Действие гидразина и его производных на четвертичные соли алкил-пирамидина вызывает раскрытие пирамидинового кольца с последующим включением нуклеофила в образовавшийся цикл пиразола или триазола [1, 2]. Первичные амины при действии на те же соли также могут вызывать раскрытие пирамидинового кольца с последующим замыканием его, но уже не на реагент, а на боковые аминную или алкильную группы – перегруппировка Димрота [3, 4] или Коста–Сагитуллина [5, 6] соответственно. При перегруппировке Коста–Сагитуллина нуклеофильный реагент может также войти в положение 2 образовавшегося пиридина, давая так называемую "перегруппировку с переаминированием" [7–9]. Отметим также, что пирамидиниевые соли, содержащие первичную аминную группу в положениях 2 и 4, при взаимодействии с производными гидразина, аминогуанидином и семикарбазидом помимо производных пиразола и триазола могут образовать также продукты перегруппировки Димрота [1, 10, 11].

Ранее нами сообщалось, что действие на иодид 1,4,6-trimetil-2-(этоксикарбонил)метилпирамидина (**1**), аминогуанидина (**2a**) и изониазида (**2b**) – соединений, содержащих гидразиновый фрагмент, приводит к производным 1,2,4-триазоло[4,3-*a*]пиридина **4a,b** [12]. Предполагалось, что образование бициклического соединения происходит через промежуточный аддукт **3**, т. е. идет "перегруппировка с переаминированием" с последующей циклоконденсацией. Было также найдено, что параллельно образуется и продукт деметилирования исходной соли **5**, а в реакции с аминогуанидином также продукт перегруппировки Коста–Сагитуллина **6**. Однако проведенные позднее рентгенструктурные исследования показали, что действие гидразида изоникотиновой кислоты (**2b**) на иодид **1** приводит не к 5,7-диметил-1-(4-пиридинил)-4-этоксикарбонил-1,2,4-три-



2—4,7 a R = NH₂, **b** R = 4-Py; **2,7 c** R = CH₂CN, **d** R = CH₂Ph, **e** R = (4,6-диметилпиримидин-2-ил)метил, **f** R = Me; **2g** R = H; **2,3 a** X = NH, **b** X = O; **2c—g** X = O

азоло[4,3-*a*]пиридину (**4b**), а к его структурному изомеру – 5,7-диметил-2-(4-пиридинил)-3-этоксикарбонилпиразоло[1,5-*a*]пиримидину (**7b**). Отметим, что для правильного установления структуры соединения **7b** ранее полученные ЯМР ¹Н и масс-спектры оказались недостаточными и не вполне информативными, поскольку они могли быть практически идентичными для обеих изомерных структур **4** и **7**.

Развивая эти исследования, мы изучили действие на иодид **1** также гидразидов некоторых других карбоновых кислот (табл. 1 и 2).

Данные взаимодействия соли **1** с гидразидами **2b—g**

Гидразид	Растворитель	Время, ч	Выходы соединений, %				
			7	8	5	6	9
2b	Этанол	50	37	–	19	–	–
	Вода	30	27	–	10	–	23
2c	Этанол	60	27	16	12	13	–
	Вода	25	13	4	8	–	40
2d	Этанол	20	21	18	12	10	–
2e	Этанол	30	26	11	15	11	–
2f	Этанол	27	10	31	15	9	–
	Вода	40	–	15	9	–	50
2g	Этанол	30	–	49	13	22	–

Таблица 2
Характеристики синтезированных соединений 7b–f и 8

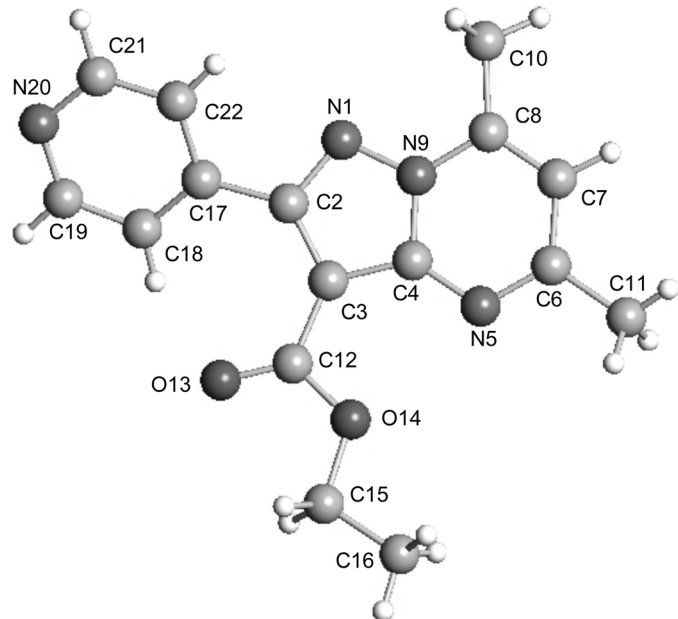
Соединение	Брутто-формула	Найдено, %			Т. пл., °C	R_f^*
		C	H	N		
7b	C ₁₆ H ₁₆ N ₄ O ₂	64.62 64.86	5.34 5.40	18.84 18.92	153–154	0.63 (1:3)
7c	C ₁₃ H ₁₄ N ₄ O ₂	60.37 60.46	5.41 5.43	21.78 21.70	168–169	0.62 (1:1)
7d	C ₁₈ H ₁₉ N ₃ O ₂	69.81 69.60	6.10 6.15	13.58 13.59	109–110	0.54 (1:1)
7e	C ₁₈ H ₂₁ N ₅ O ₂	63.69 63.72	6.17 6.19	20.63 20.65	145–146	0.55 (1:2)
7f	C ₁₂ H ₁₅ N ₃ O ₂	61.33 61.80	6.28 6.44	18.13 18.02	124–125	0.59 (1:1)
8	C ₈ H ₉ N ₃ O	58.88 58.90	5.46 5.52	25.79 25.77	239–240 240–242 °C [13].	0.59 (1:1)

* Элюент толуол–ацетон

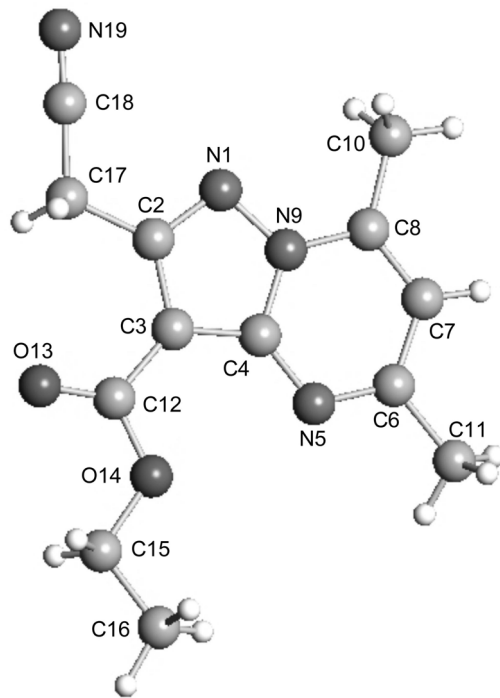
В частности, оказалось, что нагревание гидразида циануксусной кислоты (**2c**) с солью **1** в абсолютном этаноле приводит к образованию 5,7-диметил-2-цианометил-3-этоксикарбонилпиразоло[1,5-*a*]пиримидина (**7c**), структура которого также была подтверждена данными РСА.

Детали рентгеноструктурных исследований и кристаллографические данные соединений **7b** и **7c** объединены в табл. 3. Структуры были расшифрованы прямым методом по программе SHELXTL [13]. Координаты атомов водорода определены из разностных синтезов Фурье. На конечном этапе координаты всех атомов, включая атомы водорода и анизотропные тепловые параметры неводородных атомов, были уточнены вместе в полноматричном МНК. Межатомные расстояния, валентные и конформационные углы в молекулах пиразоло[1,5-*a*]пиримидинов **7b** и **7c** приведены в табл. 4–6, а строение молекул – на рис. 1 и 2. Межатомные расстояния и валентные углы, определенные из уточнения моделей структур, согласуются со среднестатистическими значениями соответствующих величин.

В реакциях иодида **1** с гидразидами карбоновых кислот наряду с соединениями **5** и **6** было выделено и другое производное пиразоло[1,5-*a*]-пиримидина – 2-гидрокси-5,7-диметилпиразоло[1,5-*a*]пиримидин (**8**). Наличие в спектре ЯМР ¹H сигналов двух протонов (H-3 и H-6) при 5.61 и 6.42 м. д., соответственно, и отсутствие сигналов сложноэфирной группы, в сочетании с данными спектров ЯМР ¹³C (табл. 7 и 8) и масс-спектров полностью подтверждает строение соединения **8**. Дополнительным аргументом в пользу этого утверждения является встречный синтез соединения **8** из гидразида **2c** и ацетилацетона [14], приводящий к соединению с аналогичными физико-химическими характеристиками.



Rис. 1. Атомная структура молекулы 5,7-диметил-2-(4-пиридинил)-3-этоксикарбонилпиразоло[1,5-*a*]пиримидина (**7b**) с нашей нумерацией атомов



Rис. 2. Атомная структура молекулы 5,7-диметил-2-цианометил-3-этоксикарбонилпиразоло[1,5-*a*]пиримидина (**7c**) с нашей нумерацией атомов

Т а б л и ц а 3
Экспериментальные данные РСА

	Соединение 7b	Соединение 7c
Формула	C ₁₆ H ₁₆ N ₄ O ₂	C ₁₃ H ₁₄ N ₄ O ₂
Молекулярный вес	296.33	258.28
Сингония	Триклиновая	Триклиновая
Пр.гр.	P-1(No.2)	P-1(No.2)
Параметры элементарной ячейки		
<i>a</i> , Å	7.6408(15)	8.3450(17)
<i>b</i> , Å	9.845(2)	8.4703(17)
<i>c</i> , Å	11.337(2)	10.793(2)
α	108.03(3)	68.52(3)
β	91.22(3)	70.19(3)
γ	112.66(3)	86.55(3)
<i>V</i> , Å ³	738.7(4)	666.1(3)
<i>Z</i>	2	2
<i>D</i> _{пент} , г/см ³	1.332	1.288
M (MoKα) мм ⁻¹	0.091	0.091
<i>F</i> (000)	312	272
Размеры кристалла, см	0.025 × 0.03 × 0.03	0.03 × 0.023 × 0.03
Сбор данных		
Температура, К	293	293
Излучение, длина волны, Å	MoKα , $\lambda = 0.71073$	MoKα , $\lambda = 0.71073$
θ_{\min} , θ_{\max}	1.9, 30.0	2.0, 30.0
Индексы	$-10 < h < 10$; $-13 < k < 13$; $0 < l < 15$	$-11 < h < 11$; $-11 < k < 11$; $0 < l < 15$
Число независимых измерений, <i>R</i> (int)	4500, 4299, 0.022	4081, 3888, 0.008
Число наблюдаемых отражений, <i>I</i> >2.0σ(<i>I</i>)	2709	3192
Уточнение		
Число отражений параметров	4299 264	3888 229
<i>R</i> , <i>wR</i> 2, <i>S</i>	0.0509, 0.1381, 1.02	0.0485, 0.1459, 1.04
Max. and Av. Shift/Error	0.00, 0.00	0.00, 0.00
$\Delta\rho_{\min}$ $\Delta\rho_{\max}$, e/Å ³	-0.21 0.23	-0.20 0.29

Таблица 4

Длины связей (*l*) в молекулах 5,7-диметил-2-(4-пиридил)-3-этоксикарбонилпирацоло[1,5-*a*]пиrimидина (7b) и 5,7-диметил-2-цианометил-3-этоксикарбонилпирацоло[1,5-*a*]пиrimидина (7c)

Соединение 7b		Соединение 7c	
Связь	<i>l</i> , Å	Связь	<i>l</i> , Å
O ₍₁₃₎ —C ₍₁₂₎	1.205(2)	O ₍₁₃₎ —C ₍₁₂₎	1.213(18)
O ₍₁₄₎ —C ₍₁₂₎	1.328(2)	O ₍₁₄₎ —C ₍₁₂₎	1.323(16)
O ₍₁₄₎ —C ₍₁₅₎	1.444(3)	O ₍₁₄₎ —C ₍₁₅₎	1.451(19)
N ₍₁₎ —N ₍₉₎	1.361(2)	N ₍₁₎ —N ₍₉₎	1.371(14)
N ₍₁₎ —C ₍₂₎	1.341(2)	N ₍₁₎ —C ₍₂₎	1.332(16)
N ₍₅₎ —C ₍₄₎	1.348(2)	N ₍₅₎ —C ₍₄₎	1.344(15)
N ₍₅₎ —C ₍₆₎	1.325(2)	N ₍₅₎ —C ₍₆₎	1.324(17)
N ₍₉₎ —C ₍₄₎	1.383(2)	N ₍₉₎ —C ₍₄₎	1.386(14)
N ₍₉₎ —C ₍₈₎	1.373(2)	N ₍₉₎ —C ₍₈₎	1.370(16)
N ₍₂₀₎ —C ₍₁₉₎	1.331(3)	N ₍₁₉₎ —C ₍₁₈₎	1.134(2)
N ₍₂₀₎ —C ₍₂₁₎	1.332(3)	C ₍₂₎ —C ₍₃₎	1.406(16)
C ₍₂₎ —C ₍₃₎	1.423(2)	C ₍₂₎ —C ₍₁₇₎	1.500(2)
C ₍₂₎ —C ₍₁₇₎	1.485(2)	C ₍₃₎ —C ₍₄₎	1.402(17)
C ₍₃₎ —C ₍₄₎	1.410(2)	C ₍₃₎ —C ₍₁₂₎	1.456 (17)
C ₍₃₎ —C ₍₁₂₎	1.468(2)	C ₍₆₎ —C ₍₇₎	1.417(18)
C ₍₆₎ —C ₍₇₎	1.410(3)	C ₍₆₎ —C ₍₁₁₎	1.492(2)
C ₍₆₎ —C ₍₁₁₎	1.500(3)	C ₍₇₎ —C ₍₈₎	1.361(17)
C ₍₇₎ —C ₍₈₎	1.358(3)	C ₍₈₎ —C ₍₁₀₎	1.486(18)
C ₍₈₎ —C ₍₁₀₎	1.480(3)	C ₍₁₅₎ —C ₍₁₆₎	1.468(3)
C ₍₁₅₎ —C ₍₁₆₎	1.495(3)	C ₍₁₇₎ —C ₍₁₈₎	1.457(2)
C ₍₁₇₎ —C ₍₁₈₎	1.382(2)	C ₍₇₎ —H ₍₇₎	0.93(17)
C ₍₁₇₎ —C ₍₂₂₎	1.392(2)	C ₍₁₀₎ —H _(10A)	0.94(2)
C ₍₁₈₎ —C ₍₁₉₎	1.384(3)	C ₍₁₀₎ —H _(10B)	1.00(3)
C ₍₂₁₎ —C ₍₂₂₎	1.380(3)	C ₍₁₀₎ —H _(10C)	0.98(3)
C ₍₇₎ —H ₍₇₎	0.97(2)	C ₍₁₁₎ —H _(11A)	0.96(3)
C ₍₁₀₎ —H _(10A)	0.94(3)	C ₍₁₁₎ —H _(11B)	0.97(3)
C ₍₁₀₎ —H _(10B)	0.97(3)	C ₍₁₁₎ —H _(11C)	0.99(3)
C ₍₁₀₎ —H _(10C)	0.96(3)	C ₍₁₅₎ —H _(15A)	0.99(3)
C ₍₁₁₎ —H _(11A)	0.96(4)	C ₍₁₅₎ —H _(15B)	0.92(3)
C ₍₁₁₎ —H _(11B)	0.99(4)	C ₍₁₆₎ —H _(16A)	1.05(2)
C ₍₁₁₎ —H _(11C)	0.91(4)	C ₍₁₆₎ —H _(16B)	0.90(4)
C ₍₁₅₎ —H _(15A)	0.99(3)	C ₍₁₆₎ —H _(16C)	1.09(4)
C ₍₁₅₎ —H _(15B)	1.05(3)	C ₍₁₇₎ —H _(17A)	0.98(3)
C ₍₁₆₎ —H _(16A)	0.96(3)	C ₍₁₇₎ —H _(17B)	0.97(3)
C ₍₁₆₎ —H _(16B)	0.97(3)		
C ₍₁₆₎ —H _(16C)	0.96(3)		
C ₍₁₈₎ —H ₍₁₈₎	0.94(2)		
C ₍₁₉₎ —H ₍₁₉₎	0.94(3)		
C ₍₂₁₎ —H ₍₂₁₎	1.00(2)		
C ₍₂₂₎ —H ₍₂₂₎	0.94(2)		

Таблица 5

Валентные углы (ω) в молекулах 7b и 7c

Соединение 7b				Соединение 7c			
Угол	ω , град.	Угол	ω , град.	Угол	ω , град.	Угол	ω , град.
C ₍₁₂₎ —O ₍₁₄₎ —C ₍₁₅₎	117.15(16)	C ₍₂₎ —C ₍₁₇₎ —C ₍₂₂₎	118.39(15)	C ₍₁₂₎ —O ₍₁₄₎ —C ₍₁₅₎	118.07(12)	C ₍₆₎ —C ₍₇₎ —H ₍₇₎	117.8(10)
N ₍₉₎ —N ₍₁₎ —C ₍₂₎	104.54(13)	C ₍₁₈₎ —C ₍₁₇₎ —C ₍₂₂₎	117.07(16)	N ₍₉₎ —N ₍₁₎ —C ₍₂₎	103.63(9)	C ₍₈₎ —C ₍₇₎ —H ₍₇₎	121.4(10)
C ₍₄₎ —N ₍₅₎ —C ₍₆₎	116.77(15)	C ₍₁₇₎ —C ₍₁₈₎ —C ₍₁₉₎	118.91(17)	C ₍₄₎ —N ₍₅₎ —C ₍₆₎	116.87(10)	C ₍₈₎ —C ₍₁₀₎ —H _(10A)	111.9(14)
N ₍₁₎ —N ₍₉₎ —C ₍₄₎	113.04(14)	N ₍₂₀₎ —C ₍₁₉₎ —C ₍₁₈₎	124.62(18)	N ₍₁₎ —N ₍₉₎ —C ₍₄₎	112.90(10)	C ₍₈₎ —C ₍₁₀₎ —H _(10B)	111.8(12)
N ₍₁₎ —N ₍₉₎ —C ₍₈₎	124.09(14)	N ₍₂₀₎ —C ₍₂₁₎ —C ₍₂₂₎	123.98(17)	N ₍₁₎ —N ₍₉₎ —C ₍₈₎	124.75(10)	C ₍₈₎ —C ₍₁₀₎ —H _(10C)	109.0(12)
C ₍₄₎ —N ₍₉₎ —C ₍₈₎	122.82(14)	C ₍₁₇₎ —C ₍₂₂₎ —C ₍₂₁₎	119.47(17)	C ₍₄₎ —N ₍₉₎ —C ₍₈₎	122.35(10)	H _(10A) —C ₍₁₀₎ —H _(10B)	108(2)
C ₍₁₉₎ —N ₍₂₀₎ —C ₍₂₁₎	115.92(17)	C ₍₆₎ —C ₍₇₎ —H ₍₇₎	119.1(11)	N ₍₁₎ —C ₍₂₎ —C ₍₃₎	113.48(11)	H _(10A) —C ₍₁₀₎ —H _(10C)	108(2)
N ₍₁₎ —C ₍₂₎ —C ₍₃₎	112.41(15)	C ₍₈₎ —C ₍₇₎ —H ₍₇₎	120.2(11)	N ₍₁₎ —C ₍₂₎ —C ₍₁₇₎	120.56(11)	H _(10B) —C ₍₁₀₎ —H _(10C)	108(2)
N ₍₁₎ —C ₍₂₎ —C ₍₁₇₎	114.68(14)	C ₍₈₎ —C ₍₁₀₎ —H _(10A)	112.2(16)	C ₍₃₎ —C ₍₂₎ —C ₍₁₇₎	125.95(12)	C ₍₆₎ —C ₍₁₁₎ —H _(11A)	113.2(17)
C ₍₃₎ —C ₍₂₎ —C ₍₁₇₎	132.91(16)	C ₍₈₎ —C ₍₁₀₎ —H _(10B)	111.7(19)	C ₍₂₎ —C ₍₃₎ —C ₍₄₎	104.75(10)	C ₍₆₎ —C ₍₁₁₎ —H _(11B)	115.7(12)
C ₍₂₎ —C ₍₃₎ —C ₍₄₎	104.44(14)	C ₍₈₎ —C ₍₁₀₎ —H _(10C)	111.2(13)	C ₍₂₎ —C ₍₃₎ —C ₍₁₂₎	126.15(12)	C ₍₆₎ —C ₍₁₁₎ —H _(11C)	110.8(16)
C ₍₂₎ —C ₍₃₎ —C ₍₁₂₎	129.49(15)	H _(10A) —C ₍₁₀₎ —H _(10B)	104(2)	C ₍₄₎ —C ₍₃₎ —C ₍₁₂₎	129.06(11)	H _(11A) —C ₍₁₁₎ —H _(11B)	101(2)
C ₍₄₎ —C ₍₃₎ —C ₍₁₂₎	125.89(14)	H _(10A) —C ₍₁₀₎ —H _(10C)	106(3)	N ₍₅₎ —C ₍₄₎ —N ₍₉₎	121.91(11)	H _(11A) —C ₍₁₁₎ —H _(11C)	104(2)
N ₍₅₎ —C ₍₄₎ —N ₍₉₎	121.29(15)	H _(10B) —C ₍₁₀₎ —H _(10C)	111(2)	N ₍₅₎ —C ₍₄₎ —C ₍₃₎	132.87(11)	H _(11B) —C ₍₁₁₎ —H _(11C)	111(2)
N ₍₅₎ —C ₍₄₎ —C ₍₃₎	133.14(16)	C ₍₆₎ —C ₍₁₁₎ —H _(11A)	110(2)	N ₍₉₎ —C ₍₄₎ —C ₍₃₎	105.22(10)	O ₍₁₄₎ —C ₍₁₅₎ —H _(15A)	110.5(13)
N ₍₉₎ —C ₍₄₎ —C ₍₃₎	105.58(13)	C ₍₆₎ —C ₍₁₁₎ —H _(11B)	113(2)	N ₍₅₎ —C ₍₆₎ —C ₍₇₎	122.68(12)	O ₍₁₄₎ —C ₍₁₅₎ —H _(15B)	106.7(14)
N ₍₅₎ —C ₍₆₎ —C ₍₇₎	123.15(16)	C ₍₆₎ —C ₍₁₁₎ —H _(11C)	113(2)	N ₍₅₎ —C ₍₆₎ —C ₍₁₁₎	117.22(12)	C ₍₁₆₎ —C ₍₁₅₎ —H _(15A)	112.2(12)

$N_{(5)}-C_{(6)}-C_{(11)}$	116.13(18)	$H_{(11A)}-C_{(11)}-H_{(11B)}$	107(3)	$C_{(7)}-C_{(6)}-C_{(11)}$	120.09(12)	$C_{(16)}-C_{(15)}-H_{(15B)}$	113.0(14)
$C_{(7)}-C_{(6)}-C_{(11)}$	120.72(18)	$H_{(11A)}-C_{(11)}-H_{(11C)}$	107(3)	$C_{(6)}-C_{(7)}-C_{(8)}$	120.80(12)	$H_{(15A)}-C_{(15)}-H_{(15B)}$	107(2)
$C_{(6)}-C_{(7)}-C_{(8)}$	120.68(18)	$H_{(11B)}-C_{(11)}-H_{(11C)}$	107(3)	$N_{(9)}-C_{(8)}-C_{(7)}$	115.38(11)	$C_{(15)}-C_{(16)}-H_{(16A)}$	112.3(13)
$N_{(9)}-C_{(8)}-C_{(7)}$	115.24(16)	$O_{(14)}-C_{(15)}-H_{(15A)}$	109.6(14)	$N_{(9)}-C_{(8)}-C_{(10)}$	118.27(11)	$C_{(15)}-C_{(16)}-H_{(16B)}$	120.7(19)
$N_{(9)}-C_{(8)}-C_{(10)}$	118.40(16)	$O_{(14)}-C_{(15)}-H_{(15B)}$	109.6(13)	$C_{(7)}-C_{(8)}-C_{(10)}$	126.34(13)	$C_{(15)}-C_{(16)}-H_{(16C)}$	92.4(18)
$C_{(7)}-C_{(8)}-C_{(10)}$	126.32(17)	$C_{(16)}-C_{(15)}-H_{(15A)}$	113.7(13)	$O_{(13)}-C_{(12)}-O_{(14)}$	123.53(13)	$H_{(16A)}-C_{(16)}-H_{(16B)}$	116(2)
$O_{(13)}-C_{(12)}-O_{(14)}$	122.95(17)	$C_{(16)}-C_{(15)}-H_{(15B)}$	114.2(12)	$O_{(13)}-C_{(12)}-C_{(3)}$	124.12(12)	$H_{(16A)}-C_{(16)}-H_{(16C)}$	103(2)
$O_{(13)}-C_{(12)}-C_{(3)}$	125.95(16)	$H_{(15A)}-C_{(15)}-H_{(15B)}$	103(2)	$O_{(14)}-C_{(12)}-C_{(3)}$	112.34(11)	$H_{(16B)}-C_{(16)}-H_{(16C)}$	108(3)
$O_{(14)}-C_{(12)}-C_{(3)}$	111.10(15)	$C_{(15)}-C_{(16)}-H_{(16A)}$	111.6(15)	$O_{(14)}-C_{(15)}-C_{(16)}$	107.18(17)	$C_{(2)}-C_{(17)}-H_{(17A)}$	105.3(14)
$O_{(14)}-C_{(15)}-C_{(16)}$	106.9(2)	$C_{(15)}-C_{(16)}-H_{(16B)}$	108.2(15)	$C_{(2)}-C_{(17)}-C_{(18)}$	113.91(14)	$C_{(2)}-C_{(17)}-H_{(17B)}$	109.9(15)
$C_{(2)}-C_{(17)}-C_{(18)}$	124.47(15)	$C_{(15)}-C_{(16)}-H_{(16C)}$	109.2(19)	$N_{(19)}-C_{(18)}-C_{(17)}$	177.2(2)	$C_{(18)}-C_{(17)}-H_{(17A)}$	106.7(13)
$H_{(16A)}-C_{(16)}-H_{(16B)}$	108(2)	$C_{(18)}-C_{(19)}-H_{(19)}$	117.8(13)	$C_{(18)}-C_{(17)}-H_{(17B)}$	106.2(12)	$H_{(17A)}-C_{(17)}-H_{(17B)}$	115(2)
$H_{(16A)}-C_{(16)}-H_{(16C)}$	111(3)	$N_{(20)}-C_{(21)}-H_{(21)}$	117.0(16)				
$H_{(16B)}-C_{(16)}-H_{(16C)}$	109(3)	$C_{(22)}-C_{(21)}-H_{(21)}$	119.0(16)				
$C_{(17)}-C_{(18)}-H_{(18)}$	121.0(12)	$C_{(17)}-C_{(22)}-H_{(22)}$	120.5(12)				
$C_{(19)}-C_{(18)}-H_{(18)}$	120.1(12)	$C_{(21)}-C_{(22)}-H_{(22)}$	119.9(12)				
$N_{(20)}-C_{(19)}-H_{(19)}$	117.6(13)						

Т а б л и ц а 6

Торсионные углы (δ) в молекулах соединений 7b и 7c

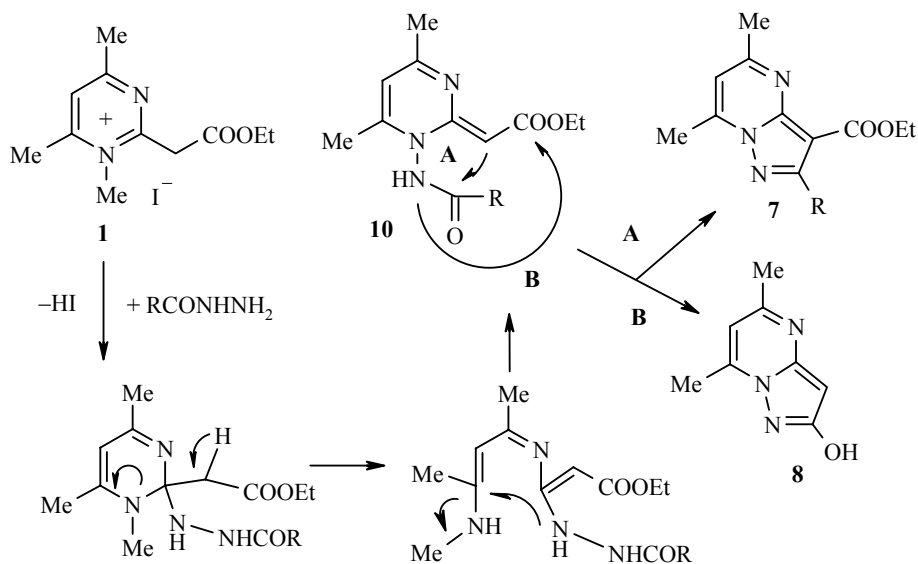
Соединение 7b		Соединение 7c	
Угол	δ , град.	Угол	δ , град.
C ₍₁₅₎ —O ₍₁₄₎ —C ₍₁₂₎ —O ₍₁₃₎	-0.4(3)	C ₍₁₅₎ —O ₍₁₄₎ —C ₍₁₂₎ —O ₍₁₃₎	-0.4(2)
C ₍₁₂₎ —O ₍₁₄₎ —C ₍₁₅₎ —C ₍₁₆₎	-179.5(2)	C ₍₁₂₎ —O ₍₁₄₎ —C ₍₁₅₎ —C ₍₁₆₎	-175.24(18)
N ₍₉₎ —N ₍₁₎ —C ₍₂₎ —C ₍₃₎	-0.11(19)	C ₍₂₎ —N ₍₁₎ —N ₍₉₎ —C ₍₄₎	0.29(13)
C ₍₂₎ —N ₍₁₎ —N ₍₉₎ —C ₍₈₎	-177.39(16)	N ₍₉₎ —N ₍₁₎ —C ₍₂₎ —C ₍₃₎	0.53(14)
C ₍₆₎ —N ₍₅₎ —C ₍₄₎ —N ₍₉₎	0.2(3)	C ₍₄₎ —N ₍₅₎ —C ₍₆₎ —C ₍₁₁₎	179.51(12)
C ₍₄₎ —N ₍₅₎ —C ₍₆₎ —C ₍₁₁₎	-179.41(19)	C ₍₆₎ —N ₍₅₎ —C ₍₄₎ —N ₍₉₎	0.36(17)
C ₍₄₎ —N ₍₉₎ —C ₍₈₎ —C ₍₇₎	2.3(3)	N ₍₁₎ —N ₍₉₎ —C ₍₄₎ —N ₍₅₎	178.62(11)
C ₍₈₎ —N ₍₉₎ —C ₍₄₎ —N ₍₅₎	-2.1(3)	C ₍₈₎ —N ₍₉₎ —C ₍₄₎ —N ₍₅₎	-0.85(18)
N ₍₁₎ —N ₍₉₎ —C ₍₄₎ —C ₍₃₎	-0.2(2)	C ₍₄₎ —N ₍₉₎ —C ₍₈₎ —C ₍₇₎	0.82(17)
N ₍₁₎ —N ₍₉₎ —C ₍₈₎ —C ₍₁₀₎	1.8(3)	N ₍₁₎ —N ₍₉₎ —C ₍₈₎ —C ₍₇₎	-178.59(12)
C ₍₂₁₎ —N ₍₂₀₎ —C ₍₁₉₎ —C ₍₁₈₎	0.3(4)	C ₍₃₎ —C ₍₂₎ —C ₍₁₇₎ —C ₍₁₈₎	-177.57(14)
N ₍₁₎ —C ₍₂₎ —C ₍₁₇₎ —C ₍₁₈₎	150.45(19)	C ₍₁₇₎ —C ₍₂₎ —C ₍₃₎ —C ₍₄₎	177.57(13)
C ₍₁₇₎ —C ₍₂₎ —C ₍₃₎ —C ₍₄₎	-179.15(18)	C ₍₁₇₎ —C ₍₂₎ —C ₍₃₎ —C ₍₁₂₎	-4.2(2)
C ₍₃₎ —C ₍₂₎ —C ₍₁₇₎ —C ₍₂₂₎	152.6(2)	C ₍₁₂₎ —C ₍₃₎ —C ₍₄₎ —N ₍₅₎	3.5(2)
C ₍₃₎ —C ₍₂₎ —C ₍₁₇₎ —C ₍₁₈₎	-30.4(3)	C ₍₄₎ —C ₍₃₎ —C ₍₁₂₎ —O ₍₁₄₎	-0.50(19)
C ₍₂₎ —C ₍₃₎ —C ₍₄₎ —N ₍₉₎	0.09(18)	C ₍₄₎ —C ₍₃₎ —C ₍₁₂₎ —O ₍₁₃₎	178.94(14)
C ₍₂₎ —C ₍₃₎ —C ₍₁₂₎ —O ₍₁₃₎	2.4(3)	C ₍₂₎ —C ₍₃₎ —C ₍₁₂₎ —O ₍₁₄₎	178.27(12)
C ₍₂₎ —C ₍₃₎ —C ₍₁₂₎ —O ₍₁₄₎	177.14(17)	C ₍₁₁₎ —C ₍₆₎ —C ₍₇₎ —C ₍₈₎	-179.47(13)
C ₍₄₎ —C ₍₃₎ —C ₍₁₂₎ —O ₍₁₃₎	176.80(18)	C ₍₆₎ —C ₍₇₎ —C ₍₈₎ —C ₍₁₀₎	178.74(13)
N ₍₅₎ —C ₍₆₎ —C ₍₇₎ —C ₍₈₎	-0.9(3)	C ₍₁₅₎ —O ₍₁₄₎ —C ₍₁₂₎ —C ₍₃₎	179.03(12)
C ₍₆₎ —C ₍₇₎ —C ₍₈₎ —N ₍₉₎	-0.9(3)	C ₍₂₎ —N ₍₁₎ —N ₍₉₎ —C ₍₈₎	179.74(12)
C ₍₂₎ —C ₍₁₇₎ —C ₍₁₈₎ —C ₍₁₉₎	-178.27(19)	N ₍₉₎ —N ₍₁₎ —C ₍₂₎ —C ₍₁₇₎	-178.23(12)
C ₍₂₎ —C ₍₁₇₎ —C ₍₂₂₎ —C ₍₂₁₎	177.4(2)	C ₍₄₎ —N ₍₅₎ —C ₍₆₎ —C ₍₇₎	0.09(18)
N ₍₂₀₎ —C ₍₂₁₎ —C ₍₂₂₎ —C ₍₁₇₎	1.2(4)	C ₍₆₎ —N ₍₅₎ —C ₍₄₎ —C ₍₃₎	179.80(13)
C ₍₁₅₎ —O ₍₁₄₎ —C ₍₁₂₎ —C ₍₃₎	179.22(17)	N ₍₁₎ —N ₍₉₎ —C ₍₄₎ —C ₍₃₎	-0.96(13)
N ₍₉₎ —N ₍₁₎ —C ₍₂₎ —C ₍₁₇₎	179.21(14)	C ₍₄₎ —N ₍₉₎ —C ₍₈₎ —C ₍₁₀₎	-178.38(12)
C ₍₂₎ —N ₍₁₎ —N ₍₉₎ —C ₍₄₎	0.2(2)	N ₍₁₎ —N ₍₉₎ —C ₍₈₎ —C ₍₁₀₎	2.21(18)
C ₍₄₎ —N ₍₅₎ —C ₍₆₎ —C ₍₇₎	1.3(3)	C ₍₈₎ —N ₍₉₎ —C ₍₄₎ —C ₍₃₎	179.57(11)
C ₍₆₎ —N ₍₅₎ —C ₍₄₎ —C ₍₃₎	-179.18(19)	N ₍₁₎ —C ₍₂₎ —C ₍₃₎ —C ₍₄₎	-1.11(15)
C ₍₈₎ —N ₍₉₎ —C ₍₄₎ —C ₍₃₎	177.43(16)	N ₍₁₎ —C ₍₂₎ —C ₍₃₎ —C ₍₁₂₎	177.10(12)
C ₍₄₎ —N ₍₉₎ —C ₍₈₎ —C ₍₁₀₎	-175.52(19)	N ₍₁₎ —C ₍₂₎ —C ₍₁₇₎ —C ₍₁₈₎	1.0(2)
N ₍₁₎ —N ₍₉₎ —C ₍₄₎ —N ₍₅₎	-179.66(16)	C ₍₂₎ —C ₍₃₎ —C ₍₄₎ —N ₍₉₎	1.17(13)
N ₍₁₎ —N ₍₉₎ —C ₍₈₎ —C ₍₇₎	179.66(18)	C ₍₂₎ —C ₍₃₎ —C ₍₄₎ —N ₍₅₎	-178.34(13)
C ₍₁₉₎ —N ₍₂₀₎ —C ₍₂₁₎ —C ₍₂₂₎	-1.4(4)	C ₍₁₂₎ —C ₍₃₎ —C ₍₄₎ —N ₍₉₎	-176.97(12)
C ₍₁₇₎ —C ₍₂₎ —C ₍₃₎ —C ₍₁₂₎	-3.9(3)	C ₍₂₎ —C ₍₃₎ —C ₍₁₂₎ —O ₍₁₃₎	1.2(2)
N ₍₁₎ —C ₍₂₎ —C ₍₃₎ —C ₍₁₂₎	175.31(17)	N ₍₅₎ —C ₍₆₎ —C ₍₇₎ —C ₍₈₎	-0.1(2)
N ₍₁₎ —C ₍₂₎ —C ₍₃₎ —C ₍₄₎	0.0(2)	C ₍₆₎ —C ₍₇₎ —C ₍₈₎ —N ₍₉₎	-0.38(19)
N ₍₁₎ —C ₍₂₎ —C ₍₁₇₎ —C ₍₂₂₎	-26.6(2)		
C ₍₁₂₎ —C ₍₃₎ —C ₍₄₎ —N ₍₉₎	-175.43(16)		
C ₍₁₂₎ —C ₍₃₎ —C ₍₄₎ —N ₍₅₎	4.0(3)		
C ₍₂₎ —C ₍₃₎ —C ₍₄₎ —N ₍₅₎	179.50(19)		
C ₍₄₎ —C ₍₃₎ —C ₍₁₂₎ —O ₍₁₄₎	-2.8(2)		
C ₍₁₁₎ —C ₍₆₎ —C ₍₇₎ —C ₍₈₎	179.8(2)		
C ₍₆₎ —C ₍₇₎ —C ₍₈₎ —C ₍₁₀₎	176.8(2)		
C ₍₂₂₎ —C ₍₁₇₎ —C ₍₁₈₎ —C ₍₁₉₎	-1.2(3)		
C ₍₁₈₎ —C ₍₁₇₎ —C ₍₂₂₎ —C ₍₂₁₎	0.2(3)		
C ₍₁₇₎ —C ₍₁₈₎ —C ₍₁₉₎ —N ₍₂₀₎	1.0(4)		

Таблица 7

Спектры ЯМР ^1H , соединений 7b–f и 8 в ДМСО- d_6

Соединение	Химические сдвиги, δ , м. д. (КCCВ, J , Гц)					
	OCH ₂ CH ₃ , $t, J = 7.1$	5-CH ₃ , с	7-CH ₃ , с	OCH ₂ , к, $J = 7.1$	H-6, с	R
7b	1.27	2.62	2.79	4.32	6.99	7.72 (2H, д, $J = 6.8$, H-2",6"); 8.74 (2H, д, $J = 6.8$, H-3", H-5")
7c	1.44	2.68	2.82	4.44	6.78	4.23 (2H, с, CH ₂ CN)
7d	1.38	2.62	2.77	4.30	6.83	4.41 (2H, с, 2-CH ₂); 7.08–7.29 (5H, м, C ₆ H ₅)
7e	1.19	2.61	2.72	4.14	6.84	2.35 (6H, с, H-4',6'); 4.55 (2H, с, 2-CH ₂); 6.86 (H, с, H-5')
7f	1.29	2.59	2.71	4.34	6.82	2.57 (3H, с, 2-CH ₃)
8	—	2.44	2.54	—	6.42	5.61 (H, с, H-3); 10.37 (H, уш. с, OH)

Получение производных пиразоло[1,5-*a*]пиrimидина привело нас к новой интерпретации данной трансформации. Схематически образование пиразолопириимидинов 7 и 8 можно представить следующим образом:



По-видимому, после атаки гидразинового фрагмента по положительному 2 пириимида [15] и последующей рециклизации образуется интермедиат 10, который далее может вторично циклизоваться в двух направлениях – с образованием соединений 7a–f (путь А) и 8 (путь В).

Конкурентной этим трансформациям является перегруппировка Коста–Сагитуллина, приводящая к соединению 6. В случае атаки по метильной

Таблица 8

Спектры ЯМР ^{13}C соединений 7b–g и 8

Соеди- нение	Химические сдвиги, δ , м. д.											
	OCH ₂ CH ₃	5-CH ₃	7-CH ₃	O-CH ₂	C ₍₂₎	C ₍₃₎	C ₍₅₎	C ₍₆₎	C ₍₇₎	C ₍₉₎	C=O	R
7b	13.82	16.23	24.28	59.13	148.54	99.54	161.60	110.47	145.19	148.14	161.21	123.45 (C ₍₃₎ и C ₍₅₎); 139.90 (C ₍₄₎); 153.94 (C ₍₁₎ и C ₍₆₎)
7c	14.03	16.24	24.80	59.17	149.36	98.53	162.04	110.61	145.62	147.55	161.56	17.80 (2-CH ₂); 115.72 (CN)
7d	13.97	16.28	24.07	58.42	158.27	99.89	160.33	109.39	144.85	147.82	161.88	33.60 (2-CH ₂); 125.22 (C ₍₄₎); 127.34 (C ₍₂₎ и C ₍₄₎); 128.26 (C ₍₃₎ и C ₍₅₎); 138.58 (C ₍₁₎)
7e	13.82	16.36	24.14	58.23	156.07	99.77	160.26	109.28	144.88	147.93	161.73	23.12 (4'- и 6'-CH ₃); 116.6 (C ₍₅₎); 166.83 (C ₍₂₎); 165.32 (C ₍₄₎ и C ₍₆₎)
7f	14.12	16.28	24.10	58.37	156.26	95.36	162.10	109.20	144.67	147.91	160.26	14.55 (2-CH ₃)
8	—	16.40	23.68	—	156.33	99.54	165.67	105.53	143.47	148.47	—	—

группе кватернизированного атома азота образуется продукт деметилирования **5**. Фактически соль **1** трансформируется в четырех конкурентных направлениях.

Отметим, что в случае гидразидов уксусной **2f** и муравьиной **2g** кислот основным продуктом реакции становится соединение **8**, которое в случае аминогуанидина **2a** и изониазида **2b** вовсе не образуется. В реакции с гидразидом **2g** нам не удалось выделить соединение **7g**.

При проведении реакции в водной среде, как и в случае перегруппировки той же соли действием водных растворов аминов [16], вместо продукта нормальной перегруппировки Коста–Сагитуллина образуется пиридон **9**.

Таким образом, полученные результаты не только расширяют представления о рециклизациях пиридиниевых солей, но и открывают новый оригинальный путь синтеза производных пиразоло[1,5-*a*]пиридинина.

ЭКСПЕРИМЕНТАЛЬНАЯ ЧАСТЬ

Спектры ЯМР ^1H и ^{13}C получены на спектрометре фирмы Varian Mercury 300 (300, 76 МГц соответственно), используемом в рамках программы US CRDF RESC 17-5, в ДМСО-d₆, внутренний стандарт ТМС. РСА проводили на рефрактометре CAD-4 Enraf–Nonius. Масс-спектры зарегистрированы на спектрометре MK-1321 с прямым вводом образца в ионный источник при энергии ионизации 70 эВ. ТСХ проводили на пластинках Silufol UV-254, проявляли парами иода и реагентом Эрлиха. Препаративное деление осуществляли колоночной хроматографией на силикагеле ($\text{L}^5/\text{40}$). Соединения **5** [R_f 0.67 (толуол–ацетон, 1:1)], **6** [R_f 0.62 (толуол–ацетон, 4:1)] и **9** [R_f 0.52 (толуол–ацетон, 1:2)] идентичны по температурам плавления и спектрам ЯМР заведомым образцам, а гидразиды **2b–d,f,g** получены аналогично методике получения соединения **2e**. Характеристики и данные спектров ЯМР ^1H и ^{13}C синтезированных соединений **7b–f** и **8** приведены в табл. 2,7 и 8.

Гидразид 4,6-диметил-2-пиридинилуксусной кислоты (2e). Смесь 1.94 г (0.01 моль) этилового эфира 4,6-диметил-2-пиридинилуксусной кислоты и 1 мл (0.02 моль) 85% раствора гидрата гидразина нагревают 18 ч в 10 мл этанола. Растворитель и избыток гидразина отгоняют в вакууме, остаток перекристаллизовывают из 10 мл абсолютного этанола. Кристаллы отфильтровывают, промывают горячим гексаном и получают 1.69 г (94%) гидразида **2e**, т. пл. 135–137 °C. Спектр ЯМР ^1H , δ, м. д.: 2.41 (6Н, с, 4- и 6-CH₃); 3.32 (2Н, уш. с, NH₂); 3.60 (2Н, с, CH₂); 6.95 (1Н, с, H-5); 9.03 (Н, уш. с, NH). Спектр ЯМР ^{13}C , δ, м. д.: 23.16 (4- и 6-CH₃); 44.12 (CH₂); 117.15 (C₍₅₎); 164.26 (C₍₂₎); 165.58 (C₍₄₎ и C₍₆₎); 167.45 (C=O).

Взаимодействие соли **1 с гидразидом изонicotиновой кислоты (2b) в абсолютном этаноле.** Смесь 5.1 г (0.015 моль) соли **1** и 4.1 г (0.03 моль) гидразида **2b** в 20 мл абсолютного этанола нагревают 50 ч при ~100 °C. Далее отгоняют растворитель, остаток растворяют в 10 мл воды и экстрагируют толуолом (4 × 10 мл). Толуольные вытяжки сушат MgSO₄ и упаривают в вакууме. Остаток делят на колонке (толуол–ацетон, 3:1). Получают 1.64 г (37%) соединения **7b** и 0.55 г (19%) соединения **5**.

Взаимодействие соли **1 с гидразидом **2b** в воде.** Раствор 1.34 г (0.004 моль) иодида **1** и 1.1 г (0.008 моль) гидразида **2b** в 10 мл воды нагревают 30 ч при ~100 °C, затем экстрагируют хлороформом (3 × 10 мл), сушат MgSO₄ и отгоняют растворитель. Остаток делят на колонке (толуол–ацетон, 2:1) и получают 0.27 г (27%) соединения **7b**, 0.075 г (10%) соединения **5** и 0.18 г (23%) соединения **9**.

Взаимодействие соли **1 с гидразидом циануксусной кислоты **2c** в абсолютном этаноле.** Смесь 4.08 г (0.012 моль) соли **1** и 2.37 г (0.024 моль) гидразида **2c** нагревают 50 ч в 15 мл абсолютного этанола. Отгоняют растворитель, остаток растворяют в 10–12 мл воды и экстрагируют толуолом (3 × 15 мл). Толуольный раствор сушат MgSO₄, отгоняют

растворитель, а остаток делят на колонке (толуол–ацетон, 4:1). Получают 0.85 г (27%) соединения **7c**, 0.28 г (12%) соединения **5** и 0.32 г (13%) соединения **6**. Из водного раствора отгоняют растворитель и препартивным делением на колонке (толуол–ацетон, 1:1) получают 0.31 г (16%) соединения **8**. Масс-спектр соединения **8**, m/z ($I_{\text{отн.}}$, %): 163 (100), 124 (10), 108 (16), 93 (11), 81 (10), 67 (9), 53 (7).

Взаимодействие соли **1 с гидразидом **2c** в воде.** Смесь 4.08 г (0.012 моль) соли **1** и 2.37 г (0.24 моль) **2c** нагревают 25 ч в 15 мл воды. Далее обрабатывают аналогично методике взаимодействия соединений **1** и **2c** в воде и из толуольного раствора получают 0.21 г (8%) соединения **5** и 0.4 г (13%) соединения **7c**, а из водного – 0.93 г (40%) соединения **9** и 0.07 г (4%) соединения **8**.

Взаимодействие соли **1 с гидразидом 4,6-диметил-2-пиримидинилуксусной кислоты (**2e**) в абсолютном этаноле.** Смесь 1.34 г (0.004 моль) соли **1** и 1.44 г (0.03 моль) гидразида **2e** в 7 мл абсолютного этанола нагревают 30 ч при ~100 °C. Далее отгоняют растворитель, остаток делят препартивно на колонке (толуол–ацетон, 1:1). Получают 0.35 г (26%) соединения **7e**, 0.12 г (15%) соединения **5**, 0.09 г (11%) соединения **6** и 0.07 г (11%) соединения **8**. Масс-спектр **2e**, m/z ($I_{\text{отн.}}$, %): 339 (64), 294 (44), 293 (100), 267 (12), 266 (15), 112 (13), 42 (14), 28 (18), 18 (37).

Взаимодействие соли **1 с гидразидом фенилуксусной кислоты (**2d**) в абсолютном этаноле.** Раствор 2.04 г (0.006 моль) соли **1** и 1.8 г (0.03 моль) гидразида **2d** 10 мл абсолютного этанола нагревают 20 ч. Далее обрабатывают аналогично методике взаимодействия соединений **1** и **2e** в воде и получают 0.39 г (21%) соединения **7d**, 0.14 г (12%) соединения **5**, 0.12 г (10%) соединения **6** и 0.18 г (18%) соединения **8**.

Взаимодействие соли **1 с гидразидом уксусной кислоты **2f** в абсолютном этаноле.** Смесь 1.02 г (0.003 моль) соли **1** и 0.44 г (0.06 моль) гидразида **2f** в 8 мл абсолютного этанола нагревают 27 ч при ~100 °C. Отгоняют растворитель, остаток последовательно промывают гексаном и хлороформом. Из гексановой вытяжки удаляют растворитель, а остаток делят на колонке (гексан–ацетон, 4:1). Получают 0.7 г (10%) соединения **7f**, 0.09 г (15%) соединения **5**, 0.55 г (9%) соединения **6**. Из хлороформной вытяжки отгоняют растворитель, а остаток делят препартивно на колонке (толуол–ацетон, 2:1). Получают 0.15 г (31%) соединения **8**.

Взаимодействие соли **1 с гидразидом **2f** в воде.** Раствор 1.34 г (0.004 моль) иодида **1** и 0.66 г (0.008 моль) гидразида **2f** 10 мл воды нагревают 40 ч, экстрагируют гексаном и хлороформом и обрабатывают аналогично методике взаимодействия соединений **1** и **2f** в абсолютном этаноле и получают из гексанового раствора 0.07 г (9%) соединения **5**, а из хлороформенного – 0.1 г (15%) соединения **8** и 0.39 г (50%) соединения **9**.

Взаимодействие соли **1 с гидразидом муравьиной кислоты **2g** в абсолютном этаноле.** Смесь 1.34 г (0.003 моль) соли **1** и 0.44 г (0.06 моль) гидразида **2g** в 8 мл абсолютного этанола нагревают 30 ч при ~100 °C. Отгоняют растворитель, остаток промывают хлороформом и препартивным делением на колонке (гексан–ацетон, 3:1), получают 0.1 г (13%) соединения **5**, 0.18 г (22%) соединения **6** и 0.32 г (49%) соединения **8**.

Работа выполнена при финансовой поддержке Национального фонда науки и передовых технологий Армении и Фонда гражданских исследований и развития США (NFSAT RA – US CRDF, грант N CH 090-02 / 12040), а также в рамках научной темы 0543 Министерства науки и образования Республики Армения.

Авторы благодарят проф. Алана Катрицкого (Университет Флориды, США) за поддержку и сотрудничество.

СПИСОК ЛИТЕРАТУРЫ

1. R. G. Dickinson, N. W. Jacobsen, R. G. Gillis, *Austral. J. Chem.*, **28**, 859 (1975).
2. R. G. Dickinson, W. J. Noel, *Austral. J. Chem.*, **28**, 2435 (1975).
3. D. J. Brown, *Mechanism of Molecular Migration*, J. Wiley, New-York, 1968, **1**, 209.
4. M. Wahren, *Zeitschr. Chem.*, **9**, 241 (1969).
5. R. S. Sagitullin, A. N. Kost, G. G. Danagulyan, *Tetrahedron Lett.*, 4135 (1978).

6. Я. П. Стадынъ, *ХГС*, 1567 (1979).
7. G. G. Danagulyan, L.G. Sahakyan, A. R. Katritzky, S. N. Denisenko, *Heterocycles*, **53**, 419 (2000).
8. Г. Г. Данагулян, Л. Г. Саакян, *ХГС*, 1434 (1999).
9. Г. Г. Данагулян, Л. Г. Саакян, *Хим. журн. Армении*, **53**, 147 (2000).
10. С. К. Робев, *ХГС*, 1587 (1981).
11. S. K. Robev, *Tetrahedron Lett.*, **23**, 2903 (1982).
12. Г. Г. Данагулян, Л. Г. Саакян, Д. А. Тадевосян, *ХГС*, 305 (2003).
13. G. M. Sheldrick, SHELXTL, Version 6.12, Bruker AXS 5465 Inc., Madison, WI-53711-5373, USA (copyright 2000).
14. W. Ried, E.-U. Koher, *Liebigs Ann. Chem.*, **647**, 116 (1961).
15. Г. Г. Данагулян, Ф. С. Киноян, Д. А. Тадевосян, *ХГС*, 303 (2003).
16. Г. Г. Данагулян, Л. Г. Саакян, А. Р. Катрицкий, С. Н. Денисенко, *ХГС*, 1572 (1999).

Институт органической химии
НАН Республики Армения,
Ереван 375091
e-mail: gdanag@email.com

Поступило в редакцию 26.10.2005

^aЦентр исследования строения молекул
НАН Республики Армения,
Ереван 375014
e-mail: henry@msrc.am.
